

基于最小二乘支持向量机建模的混沌系统控制^{*}

叶美盈[†]

(浙江师范大学数理学院, 金华 321004)

(2004 年 2 月 13 日收到, 2004 年 4 月 26 日收到修改稿)

提出了基于最小二乘支持向量机(LS-SVMs)建模的混沌系统控制方法. 与前向神经网络相比, LS-SVMs 的优点是其训练过程遵循结构风险最小化原则, 不易发生过拟合现象, 它通过解一组线性方程组可得到全局惟一的最优解, LS-SVMs 的拓扑结构在训练结束时自动获得而不需要预先确定. 该方法不需要被控混沌系统的解析模型, 且当测量噪声存在情况下控制仍然有效. 以一维和二维非线性映射为例进行数值仿真, 表明该方法是有效和可行的.

关键词: 混沌控制, 支持向量机, 建模

PACC: 0545

1. 引 言

近年来混沌控制及应用问题受到国内外学者的关注. 作为混沌保密通信的关键技术, 同步问题的研究日益受到人们的重视, 提出了若干有效的设计方法, 如极点配置方法、脉冲控制方法、神经网络方法等^[1-6]. 其中神经网络因其有较强的非线性映射能力, 在混沌系统控制中得到了较多的应用^[4-6]. 通常的做法是首先以前向神经网络对混沌系统进行学习, 得到混沌系统动力学模型较为准确的表述, 进而实现对混沌系统的控制. 但因神经网络训练过程遵循经验风险最小化准则, 存在过拟合、训练过程受局部极小点的困扰、网络结构的选择过分依赖于经验等固有的缺陷^[7], 直接影响了建模的精度及可靠性, 如何克服这些缺陷一直是神经网络应用中的难题. 因此, 有必要寻求新的更为有效的混沌系统控制方法.

Vapnik 等人提出的支持向量机(support vector machines, SVMs)^[7]是近年来机器学习领域最有影响的成果之一, 其训练过程遵循结构风险最小化原则, 结构参数在训练过程中根据样本数据自动确定, 无过拟合现象, 它通过解一个线性约束的二次规划问题得到全局最优解, 不存在局部极小值问题, 因此,

SVMs 可成功克服神经网络的上述缺陷^[8]. 虽然最近 SVMs 已在混沌系统的辨识与预测中得到了一些应用^[9, 10], 但 SVMs 在混沌系统控制中的应用尚属鲜见. 文献 [11] 提出了用 SVMs 控制混沌动力学系统的方法, 该方法将复杂动力学系统的模型分解为线性部分和非线性部分, 通过用 SVMs 补偿模型的非线性部分来实现混沌系统的控制, 因此该方法仍依赖于对象模型, 对于精确模型往往难以得到的实际混沌系统来说, 这种方法是难以付诸实际应用的. 本文尝试直接采用支持向量机的最小二乘形式(least squares support vector machines, LS-SVMs)^[8]对混沌系统的动力学特性进行学习, 以训练好的 LS-SVMs 模型进行混沌系统的控制. 这种控制方法无需被控对象的解析模型, 便可以对其进行有效控制, 且在测量噪声存在情况下控制仍然有效.

2. 混沌系统控制的最小二乘支持向量机方法

训练 SVMs 需解凸二次规划, 虽然所得的解是唯一的最优解, 但算法的复杂度依赖于样本数据的个数, 样本数据量越大, 计算速度越慢, 占用内存也越大. 一个有效的解决方法是采用 LS-SVMs. LS-SVMs 通过解一组线性方程组取代 SVMs 中的二次规划优化, 提高了收敛速度.

^{*} 浙江省自然科学基金(批准号: 602145)资助的课题.

[†] E-mail: ymy@mail.zjnu.net.cn; 电话: 0579-2298852.

2.1. 回归型最小二乘支持向量机

设训练数据集 $\{x_t, y_t\}_{t=1}^N, x_t \in R^m$ 是第 t 个样本的输入模式, $y_t \in R$ 是对应于第 t 个样本的期望输出, N 为训练样本数. LS-SVMs 取如下形式:

$$y(x) = w^T \varphi(x) + b, \quad (1)$$

式中非线性变换 $\varphi(x)$ 将输入数据映射到高维特征空间. w 的维数是不需预先指定的(可以是无穷维). 在 LS-SVMs 中, 目标函数描述为

$$\min \mathcal{K}(w, e) = \frac{1}{2} w^T w + \gamma \frac{1}{2} \sum_{i=1}^N e_i^2, \quad (2)$$

约束条件

$$y(x) = w^T \varphi(x_t) + b + e_t, \quad t = 1, \dots, N, \quad (3)$$

只有等式约束, 且优化目标中的损失函数是误差 e_t 的二范数, 这将简化问题的求解.

定义拉格朗日函数

$$\begin{aligned} \mathcal{L}(w, b, e, \alpha) = & \mathcal{K}(w, e) - \sum_{i=1}^N \alpha_i \{w^T \varphi(x_i) \\ & + b + e_i - y_i\}, \end{aligned} \quad (4)$$

其中 α_i 是拉格朗日乘子. 根据 Karush-Kuhn-Tucker (KKT) 最优条件, 并对于 $t = 1, \dots, N$ 消去 e_t 和 w 后, 得到如下线性方程组

$$\begin{bmatrix} 0 & \mathbf{1}^T \\ \mathbf{1} & \varphi(x_t)^T \varphi(x_t) + \mathbf{D} \end{bmatrix} \begin{bmatrix} b \\ \alpha \end{bmatrix} = \begin{bmatrix} 0 \\ y \end{bmatrix}, \quad (5)$$

式中 $y = [y_1, \dots, y_N]$, $\mathbf{1} = [1, \dots, 1]$, $\alpha = [\alpha_1, \dots, \alpha_N]$, $\mathbf{D} = \text{diag}[\gamma_1, \dots, \gamma_N]$, 则 LS-SVMs 的算法优化问题就转化为以最小二乘法求解 (5) 式表示的线性方程组.

选择满足 Mercer 条件的核函数

$$\Psi(x_t, x_l) = \varphi(x_t)^T \varphi(x_l), \quad t, l = 1, \dots, N. \quad (6)$$

最后可得如下回归型 LS-SVM 模型

$$y(x) = \sum_{i=1}^N \alpha_i \Psi(x, x_i) + b, \quad (7)$$

其中 α_i, b 是线性方程组的解, $\Psi(x, x_i)$ 表示由输入空间 x 非线性映射而来的高维特征空间. 本文以最常用的径向基函数

$$\Psi(x_t, x_l) = \exp\left(-\|x - x_l\|_2^2 / \sigma^2\right) \quad (8)$$

作为核函数, 式中的 σ 是一正的实常数.

上述回归型 LS-SVMs 可用于动力学系统辨识, 建立未知混沌系统模型^[9, 12].

2.2. 用最小二乘支持向量机实现混沌系统控制

设施加了控制项的未知混沌系统为

$$x(k+1) = F(x(k)) + u(k), \quad (9)$$

式中 $x \in R^n$ 是系统的状态向量, u 为控制项.

若 (9) 式中的 $u = 0$, 则

$$x(k+1) = F(x(k)), \quad (10)$$

根据 (10) 式的输入输出关系训练 LS-SVMs, 可以得到未知混沌系统的 LS-SVMs 模型为

$$\hat{x}(k+1) = \hat{F}(x(k)), \quad (11)$$

由此可预测混沌系统的输出 $\hat{x}(k+1)$ ^[9, 12].

定义控制误差

$$e(k+1) = x(k+1) - x_d(k+1), \quad (12)$$

式中 x_d 为期望的控制目标.

为了实现对系统的控制, 设计下列控制器:

$$u(k) = x_d(k+1) - \hat{F}(x(k)), \quad (13)$$

则受控的混沌系统为

$$\begin{aligned} x(k+1) &= F(x(k)) + x_d(k+1) - \hat{F}(x(k)) \\ &= x_d(k+1) + (F(x(k)) - \hat{F}(x(k))). \end{aligned} \quad (14)$$

若 LS-SVMs 能很好地逼近 (10) 式所示混沌系统, 则有 $(F(x(k)) - \hat{F}(x(k))) \rightarrow 0$. 因此, $x(k+1) \rightarrow x_d(k+1)$, $e(k+1) \rightarrow 0$. 从而实现对未知混沌系统的控制.

混沌系统的 LS-SVMs 控制框图如 1 所示.

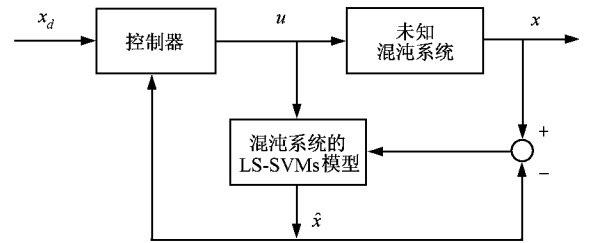


图 1 混沌系统的 LS-SVM 控制框图

3. 数值仿真

下面分别以一维和二维非线性映射为例进行数值仿真, 验证上述混沌控制方法的有效性. 仿真时混沌系统均运行 1000 步, 去掉前 200 个数据以消除初值的效应, 用后 800 个数据训练 LS-SVM, 建立混沌系统模型.

例 1 一维 Logistic 映射的控制

单输入单输出的 Logistic 映射模型为

$$x(k+1) = \mu(1 - x(k)), \quad (15)$$

在无控制时, 若 $\mu = 4$, 系统呈现混沌形态.

控制输入为

$$u(k) = x_d(k+1) - \hat{F}(x(k)), \quad (16)$$

施加控制后的系统为

$$x(k+1) = \rho(1-x(k)) + u(k), \quad (17)$$

训练后的 LS-SVMs 模型对训练数据的均方根误差为 2.59×10^{-4} .

在第 200 步时施加控制,若控制目标为 $x_d(k) = 0.6$,则结果如图 2(a)所示.该方法也可用于控制混沌系统跟踪给定的函数,若取控制目标 $x_d(k) = 0.6 + 0.25\sin(k\pi/100)$,则结果如图 2(b)所示.

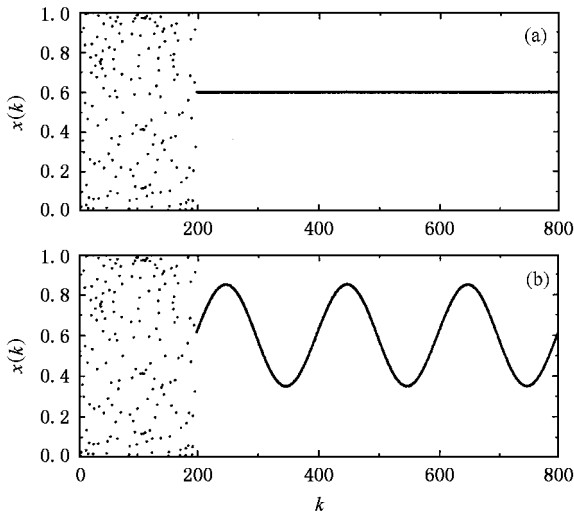


图 2 控制 Logistic 映射的结果

考虑到实际混沌系统不可避免地会受到噪声的污染,故在建模数据中加入幅值为“干净”信号 5% 的正态分布噪声分量.用上述含有噪声的数据训练 LS-SVMs 后,建立的 LS-SVMs 模型对训练数据的均方根误差为 4.20×10^{-3} ,用该 LS-SVM 模型对含噪声一维 Logistic 混沌系统进行控制,假设控制目标为 $x_d(k) = 0.6 + 0.25\sin(k\pi/100)$,控制结果见图 3,此时因 LS-SVMs 模型与混沌系统实际模型的误差增大了,虽然控制精度略微降低,但仍然有效.

例 2 二维非线性映射的控制

设二维非线性映射为

$$\begin{aligned} x_1(k+1) &= -ax_1(k) + x_2(k), \\ x_2(k+1) &= x_1(k)^2 - b. \end{aligned} \quad (18)$$

在无控制时,若 $a = 0.1, b = 1.6$,则系统呈现混沌形态,其混沌吸引子如图 4 所示.

施加控制后,系统为

$$x_1(k+1) = -ax_1(k) + x_2(k) + u_1(k),$$

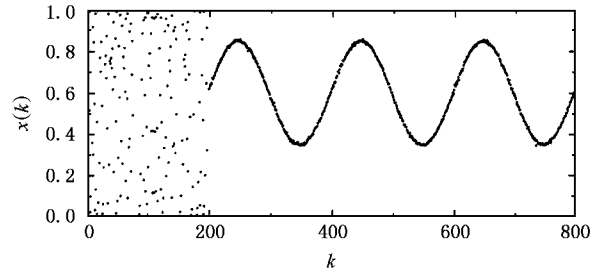


图 3 加噪声后控制 Logistic 映射的结果

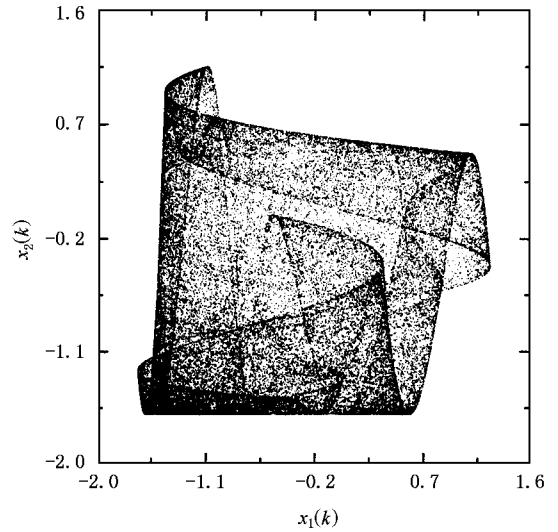


图 4 二维非线性映射的混沌吸引子

$$x_2(k+1) = x_1(k)^2 - b + u_2(k). \quad (19)$$

根据 (18) 式训练 LS-SVMs,建立模型

$$\begin{aligned} x_1(k+1) &= \hat{F}_1(x_1(k), x_2(k)), \\ x_2(k+1) &= \hat{F}_2(x_1(k), x_2(k)). \end{aligned} \quad (20)$$

训练后的 LS-SVMs 模型对训练数据 $x_1(k), x_2(k)$ 的均方根误差分别为 $6.36 \times 10^{-4}, 2.70 \times 10^{-3}$.

控制输入为

$$\begin{aligned} u_1(k) &= x_{1d}(k+1) - \hat{F}_1(x_1(k), x_2(k)), \\ u_2(k) &= x_{2d}(k+1) - \hat{F}_2(x_1(k), x_2(k)). \end{aligned} \quad (21)$$

在第 100 步时施加控制,控制目标分别为 $x_{1d}(k) = -0.5$ 和 $x_{2d}(k) = 0.7$,控制结果分别如图 5(a)及(b)所示.该方法也可用于控制混沌系统跟踪给定的函数,若控制目标分别改为跟踪 $x_{1d}(k) = 0.6 + 0.25\sin(k\pi/100), x_{2d}(k) = -0.6 - 0.25\sin(k\pi/100)$,则结果如图 6(a)及(b)所示.

为了进一步验证本方法的有效性,在建模数据中加入与例 1 相同的噪声,用含噪数据建立 LS-

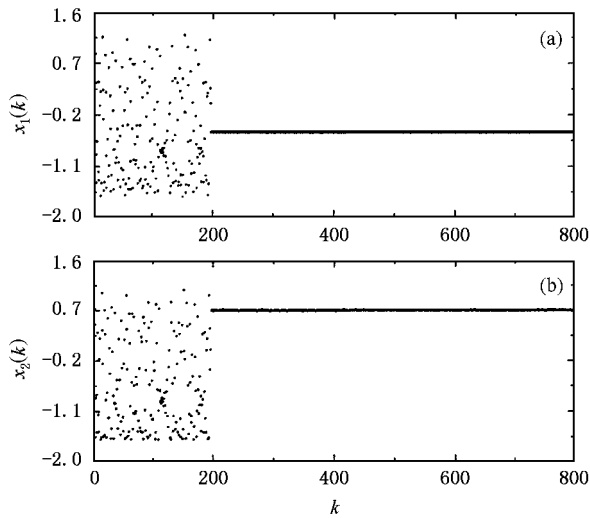


图 5 控制二维非线性映射的结果

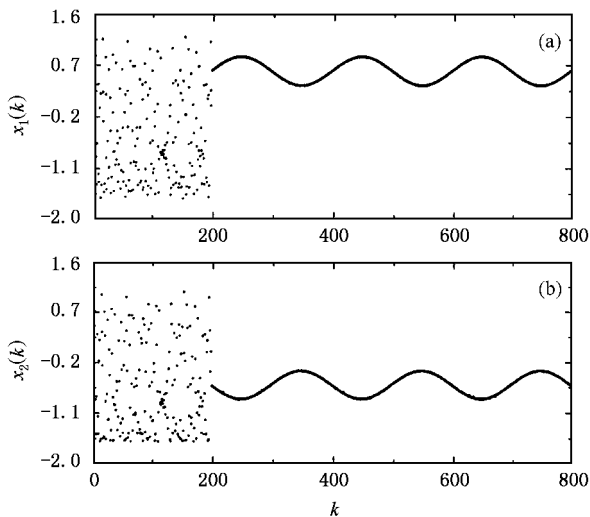


图 6 控制二维非线性映射跟踪正弦信息的结果

SVMs 模型,训练后的 LS-SVMs 模型对训练数据 $x_1(k), x_2(k)$ 的均方根误差分别为 $2.50 \times 10^{-3}, 3.80 \times 10^{-3}$. 用上述 LS-SVMs 模型对该含有测量噪声的

噪混沌系统进行控制,控制目标为 $x_{1d}(k) = 0.5$ 和 $x_{2d}(k) = -0.6 - 0.25\sin(k\pi/100)$ 控制结果分别见图 7(a) 和 (b) 所示.

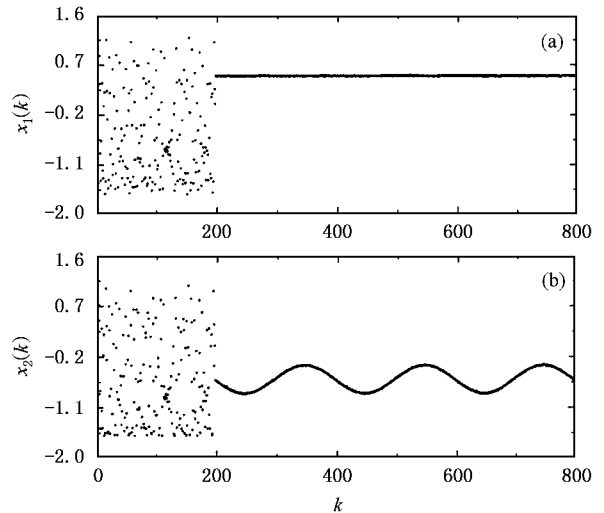


图 7 加噪后控制二维非线性映射跟踪正弦信号的结果

从上述例子可知,用 LS-SVMs 可以有效地实现对混沌系统的控制,即使系统含有测量噪声也是如此.

4. 结 论

由于 LS-SVMs 的训练过程遵循结构风险最小化原则,不易发生过拟合现象,它通过解一组线性方程组可得到全局唯一的最优解,且 LS-SVMs 的拓扑结构在训练结束时自动获得而不需要预先确定,因此本文提出的基于 LS-SVMs 建模的混沌系统控制方法有较高的可靠性. 该方法不需要被控混沌系统的解析模型,可以跟踪给定的函数,且当存在测量噪声情况下控制仍然有效.

[1] Tanaka K, Ikeda T and Wang H O 1998 *IEEE Trans. Circuits Syst.* **1** 10 1021

[2] Yang L B and Yang T 2000 *Acta Phys. Sin.* **49** 33 (in Chinese) [杨林保、杨 涛 2000 物理学报 **49** 33]

[3] Giuseppe G and Saverio M 1999 *Int. J. Bifur. Chaos* **9** 705

[4] Guan X P, Tang Y G, Fan Z P and Wang Y Q 2001 *Acta Phys. Sin.* **50** 2112 (in Chinese) [管小平、唐英干、范正平、王益群 2001 物理学报 **50** 2112]

[5] Liu D, Ren H P and Kong Z Q 2003 *Acta Phys. Sin.* **52** 531 (in Chinese) [刘 丁、任海鹏、孔志强 2003 物理学报 **52** 531]

[6] Tan W, Wang Y N, Liu Z R and Zhou S W 2002 *Acta Phys. Sin.* **51** 2463 (in Chinese) [谭 文、王耀南、刘祖润、周少武 2002 物理学报 **51** 2463]

[7] Vapnik V N 2000 *The Nature of Statistical Learning Theory* (New York : Springer)

[8] Suykens J A K 2000 *Neural Network World* **10** 29

- [9] Ye M Y and Wang X D 2004 *Chin. Phys.* **13** 454 317 429
- [10] Kim K 2003 *Neurocomputing* **55** 307 [12] Ye M Y and Wang X D 2004 *Acta. Opt. Sin.* **24** 953 (in Chinese)
- [11] Kulkarni A , Jayaraman V K and Kulkarni B D 2003 *Phys. Lett. A* [叶美盈、汪晓东 2004 *光学学报* **24** 953]

Control of chaotic system based on least squares support vector machine modeling^{*}

Ye Mei-Ying

(*College of Mathematics and Physics , Zhejiang Normal University , Jinhua 321004 , China*)

(Received 13 February 2004 ; revised manuscript received 26 April 2004)

Abstract

A new approach to control chaotic systems is presented. This control approach is based on least squares support vector machines (LS-SVMs) modeling. Compared with the feed-forward neural networks , the LS-SVM possesses prominent advantages : over fitting is unlikely to occur by employing structural risk minimization criterion , the global optimal solution can be uniquely obtained owing to the fact that its training is performed through the solution of a set of linear equations. Also , the LS-SVM need not determine its topology in advance , which can be automatically obtained when the training process ends. Thus the effectiveness and feasibility of this method are found to be better than those of the feed-forward neural networks. The method does not needs an analytic model , and it is still effective when there are measurement noises. The chaotic systems with one-and two-dimensional nonlinear maps are used as examples for demonstration.

Keywords : chaos control , support vector machines , modeling

PACC : 0545

^{*} Project supported by the Natural Science Foundation of Zhejiang Province , China (Grant No. 602145).